

# リングバスの伝送効率の測定と評価

高橋幸男 海老原義彦 池田克夫 \* 石坂充弘  
 (筑波大学) \*(三菱電機)

## 1. まえがき

GAMMA-NETのリングバスサブシステムRBSには、統計データ収集機構SDG(Statistic Data Gatherer)が付加され、この機構を用いてRBS内のデータ転送に関する伝送効率の測定を行うことができる。GAMMA-NETは複数の異機種計算機システムを高速の光ファイバリングバスで結合したローカルコンピュータネットワークである。そして、SDGは、データリンク制御をハードウェア/ファームウェアで実行するリングバスプロセッサRBP内に実装され、ハードウェアで構成されているために高精度で実時間性を損わない測定が可能である。

データ転送の同期にはランデブー方式が採用されている。この機能を用いることにより、ネットワーク制御層の機能をハイレベルしエンドプロセスのハーフア間でデータ転送を可能とするベーストモードが設定されている。この方式により、大容量の高速・高信頼のファイル転送を可能にしている。

本稿では、RBS内のメッセージ遅延とスループットに関してSDGの統計データ収集機能を用いて測定した結果について述べ、その測定結果から伝送性能について評価している。

## 2. データ転送手順

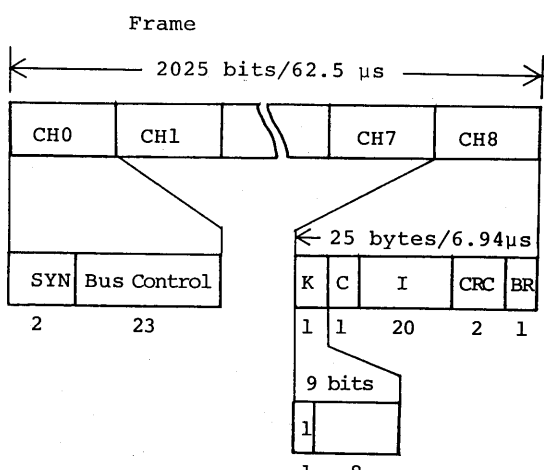
RBSは、優れた伝送特性を持つ光ファイバによる2重のリングバスとハードウェア/ファームウェアでデータリンク制御を実行するRBPから構成されている。表1にRBSの概略仕様を示す。

### 2.1 チャネル構成

リングバスの伝送チャネルは図1に示されるように9個のサブチャネルに分割され巡回している。チャネルCH0はフレームの同期制御や後述する統計データ転送用に使用されている。他のCH1からCH8のチャネルではデータ転送用に使用され、複数のサブシステム間の通信が同時に実行できる。また、各ホスト計算機内のプロセスが高速の

COMMUNICATION LINE	OPTICAL FIBER CABLE 32.4Mbps
NUMBER OF STATIONS	MAX.32
STATION DISTANCE	MAX.1km
CHANNEL	320kBps per channel 8 data channels 1 control channel
NUMBER OF DATA LINKS	MAX.31 per node
DATA TRANSFER MODE	BURST MODE (1 logical link per data link) MULTIPLEX MODE (MAX.4096 logical links per data link)

TABLE 1 SPECIFICATION OF RING BUS SUBSYSTEM



SYN : synchronous word  
 CRC : cyclic redundancy check  
 K : channel access key  
 C : command field  
 I : information field  
 BR : busy/response

FIG.1 FRAME STRUCTURE

データ転送を要求する場合には、RBSは複数のチャネルを束ねてデータ転送を実行できる。

## 2.2 リンク構成

RBSの論理的な構成は、図2のような階層構造で表わされる。RBSはネットワーク制御層NCPとデータリンク制御層DLPの働きによって通信を行なっている。各通信プロセスは、NCPが確立した論理リンクを用いて通信する。NCPは図2のようにマルチプレックスとパーストモードの2種のデータ転送モードを同時に管理している。マルチプレックスモードでは、1データリンクを複数の論理リンクに対応させてTSS, RJEなどの短いデータを転送するモードである。そして、2データリンクによる全2重モードで使用される。最大転送量は1データリンク当り2Kバイトである。パーストモードでは、1データリンクを1論理リンクに対応させて、ファイル転送のような長いデータを転送するモードである。1データリンクを半2重モードで使用される。そして、プロセス間のバッファ間で直接データ転送するので、大量データを高スループットで転送できる。最大転送量は1データリンク当り32Kバイトである。

DLPの主な機能は、計算機のチャネルに接続されるRBPで実現される。

DLPの主な機能を次に示す。

(1) RBP間のデータリンクの確立と解放。

(2) ランデブー方式を用いたデータ転送。

データ転送段階では、RBPはリングバス上の空きチャネルを送信が完了するまで捕捉してパケットを送信する。

(3) データ転送のエラー検出と再送制御。

## 2.3 ランデブー方式

データリンクの両端で送受信要求が発生したことをRBPが確認した時、データ転送が開始される。この方式がランデブー方式である。ランデブー方式は送信側と受信側のデータ転送の同期をとる方式である。

CPU-Aからデータ送信起動WRITEの発生によりRBP-Aから送信要求コマンドWRがRBP-Bに対して送信される。同様に、CPU-Bからデータ受信起動READの発生によりRBP-Bから受信要求コマンドRDがRBP-Aに対して送信される。各RBPでそれぞれWRとRDを確認し、RBP-Bが受信可能状態である場合、RBP-Bから確認コマンドSTSがRBP-Aに対して送信される。この後、データ転送は空きチャネル確保コマンドWTがRBP-AからRBP-Bに送信された後に開始される。RBP-Aは空きチャネルを

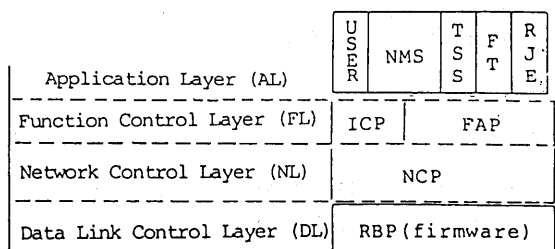
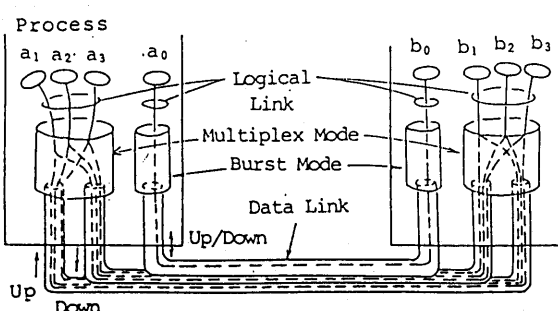


FIG.2 LINKS AND PROTOCOL LAYERS

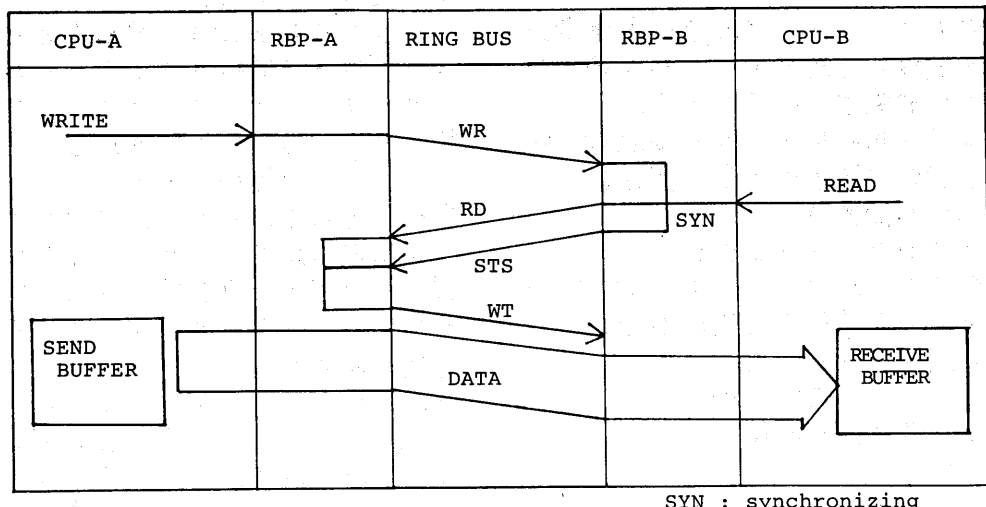


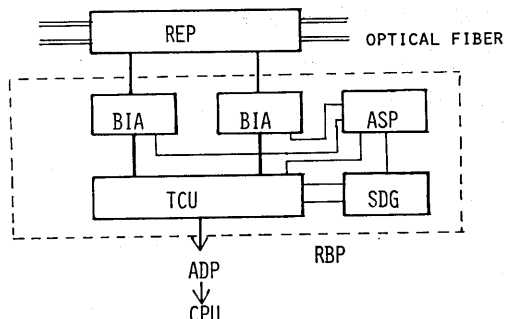
FIG.3 DATA TRANSFER SEQUENCE ON BURST MODE

探し、そのチャネルにWTを送信する。WTによって一度チャネルを確保した後、続くデータは連続して同一チャネルに送信される。図3は、この通信手順を示している。データ転送はバーストモードの場合である。

### 3. 統計データ収集測定方法

#### 3.1 統計データ収集機構

GAMMA-NETには、RBS内のデータ転送に関して、動作特性の統計データを収集する機能が実装されている。この機能は統計データ収集機構SDGによって実行される。SDGはリングバス上の各RBP内に実装されている。SDGはハードウェア/ファームウェアで構成されているため、データ転送に関する事象を高精度で実時間性を損わない程度の遅延で記録することができる。図4は、RBPの構成を示している。RBPは、バスインターフェース・アダプタBIA、付加サービス・プロセッサASP、伝送制御ユニットTCUおよびSDGより構成されている。RBP内のBIAは光リピータを介して光ファイバ・リングバスに接続



REP : repeater  
 BIA : bus interface adapter  
 ASP : attached service processor  
 TCU : transmission control unit  
 SDG : statistic data gatherer  
 ADP : interface adapter  
 RBP : ring bus processor

FIG.4 RBP STRUCTURE

されている。データ転送に関する事象、データリンク、相手局RBPの情報がTCUからSDGに伝えられる。ASPは、統計データ収集の開始の指示、統計データ収集の終了の指示、後述する統計1、統計2の指定の指示をSDGに伝える。また、48kHzと16kHzのクロックが用意されていて、このクロック単位時間で記録される。

SDGは、統計1と統計2の2種類の統計データを収集することができる。

### (1) 統計1

統計1には、データ転送の各事象の時間を累積した統計データが収集される。次に収集する項目を示す。

- ・送信/受信起動コマンド(WRITE/READ)発生時刻から送信/受信開始までの時刻の時間累積。
- ・送信/受信データ数累積。
- ・送信/受信起動コマンド(WRITE/READ)の正常/異常終了回数の累積。
- ・相手局ビジー回数累積。
- ・CRCエラー回数累積。
- ・リンク確立時間累積。

### (2) 統計2

統計2には、/データリンクに対して次の各事象の発生した時刻を連続的に追跡した記録が収集されている。

- ・送信/受信起動コマンド(WRITE/READ)発生時刻。
- ・送信/受信開始時刻。
- ・CRCエラーによる送信/受信再開時刻。
- ・オーバーランによる送信再開時刻。
- ・相手局ビジー時刻。
- ・NG受信時刻(CRCエラー発生)。
- ・送信/受信異常終了時刻。
- ・送信データ数(正常終了の場合)。

SDGには、4Kバイトのメモリが付加されており、統計1または統計2のどちらか指定された統計が記録される。

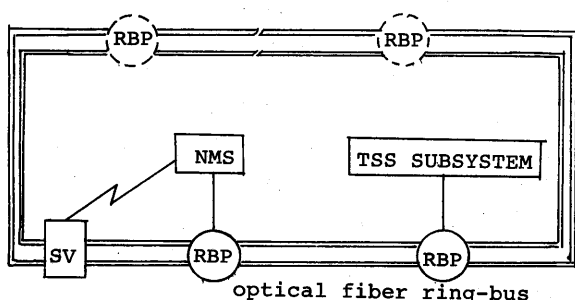


FIG.5 GAMMA-NET CONFIGURATION

### 3.2 統計データ収集方法

リングバス上には、RBPを介してネットワーク管理サブシステムNMSやリングバス・スパー・バイザSVが接続されている。(図5) NMSは、主にネットワーク管理やネットワーク案内を行っている。また、SVは主にフレーム同期の維持、不要パケットの除去バスの障害の検出と診断などを行う機能がある。NMSとSVは専用回線で接続されており、両サブシステム間の通信はリングバスを介さずに行える。

統計データ収集の開始および終了コマンドは、NMSの制御卓から入力される。NMSに入力された開始コマンドは、専用回線を介してSVに伝えられる。SVはその開始コマンドをリングバスを巡回しているフレーム内のチャネルCHQを使って各RBPに伝える。各RBP内のSDGは、この開始コマンドに従って統計データの収集を始める。この時、統計の種類およびデータリンク番号を指定することができる。統計データ収集の終了コマンドも同様にリングバス上の各RBP内のSDGに伝えられる。

各SDGは終了コマンドを受信すると、それまでに収集された統計データをリングバスのチャネルCHQを使用してSVに転送する。SVは各SDGから受信した統計データを一定のフォーマットに整えて、NMSに転送する。

NMSには、統計1と統計2のための2種類のファイルが用意されており、SVから転送された統計データは、それぞれのファイルに格納される。

図6は、この手順を示している。

### 3.3 測定方法

各RBP内に実装されているSDGの機能を用いてRBSのデータ転送に関する動作特性を測定した。

測定は、TSSサブシステム(MELCOM 800Ⅲ, 2CPU, 3MIPS, 4MB)とNMS(

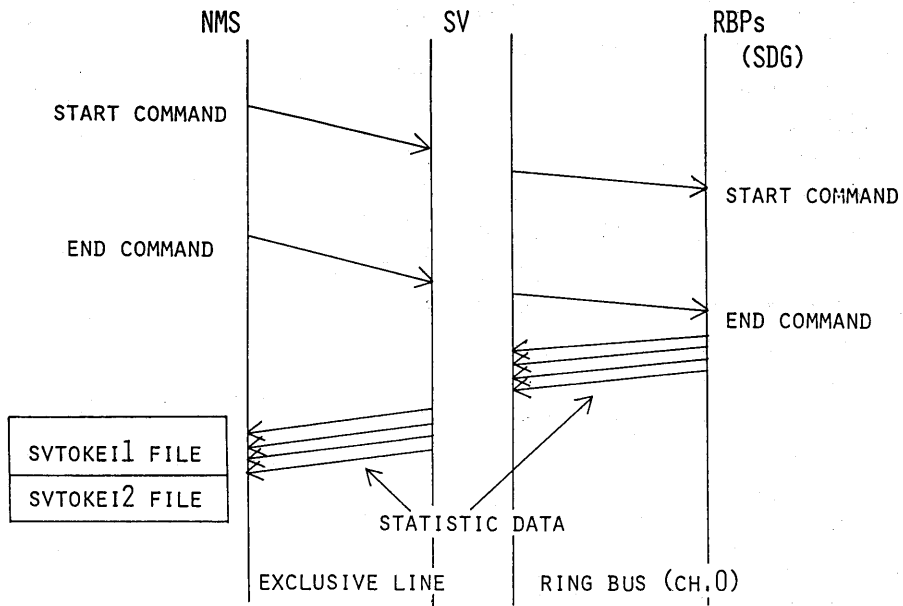


FIG.6 STATISTIC DATA GATHER SEQUENCE

MELCOM 70/150, 0.6 MIPS, 0.8 MB)間のデータ転送について行われた。測定は、単方向通信で送信側はTSSサブシステム、受信側はNMSである。

GAMMA-NET の機能制御層上に於けるプロセス間通信プロトコル TCP の機能を用いて測定用のデータ転送プログラムを作成した。これは、メッセージ長を指定して、連続して送信命令 SEND / 受信命令 REC V をくり返し実行する送信用 / 受信用のプログラムである。このプログラムを用いて RBS 内のデータ転送に関する基本的動作特性の測定を行った。

また、測定は統計乙が使用された。

#### 4. 測定結果

図 7 に示すように、アイドルタイム、ウェイトタイム、トランスマッシュンタイムを定義する。送信側について考えれば、アイドルタイムは任意の間に於いて第 i-1 番目のデータ転送の終了後、第 i 番目の送信起動コマンド WRITE

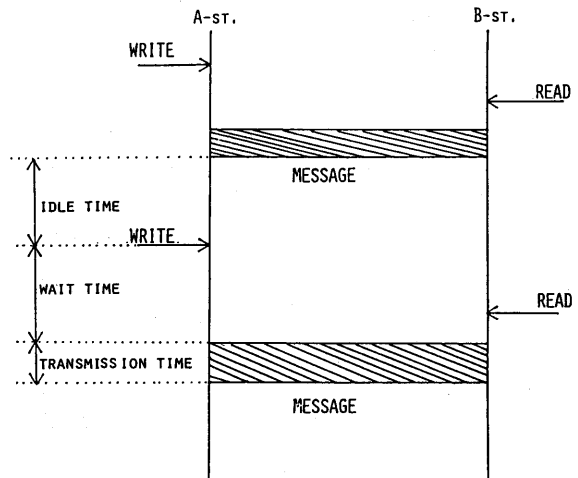


FIG.7 DATA TRANSFER SEQUENCE

が発生するまでの時間間隔であり、ウェイトタイムは送信起動コマンド WRITE が発生し実際にデータ転送が開始されるまでの時間間隔と定義する。トランスマッシュンタイムは送信開始から送信終了までの時間間隔とする。受信側

についても同様にそれぞれアイドルタイム、ウェイトタイム、トランスマッシュョンタイムと定義する。収集された統計よりこれらは算出できる。

#### 4.1 測定結果

図8から図10に測定結果を示す。図8は送信側RBPで測定したデータ転送遅延である。すなわち、送信側RBPにCPUからのデータ送信起動コマンドWRITEの到着時刻からデータ転送の終了時刻までの時間間隔を示している。データ転送遅延は、トランスマッシュョンタイムとウェイトタイムの和である。トランスマッシュョンタイムは転送データ量に比例して増大している。

図9は受信側RBPで測定したデータ転送遅延である。すなわち、受信側RBPにCPUからのデータ受信起動コマンドREADの到着時刻からデータ転送の終了時刻までの時間間隔を示している。同様にトランスマッシュョンタイムは転送データ量に比例して増大している。

ウェイトタイムは、送信側RBPと受信側RBPでの測定で値が異なっている。この理由は、データ転送方向が一方であり、送信側CPUからのWRITEが受信側CPUからのREADよりも短時間に発生しているからである。ランデブー方式による送受信の同期が完了するまでデータ転送が実行されないので、各RBPで測定されたウェイトタイムが異なるのである。

図10はスループットを示している。トランスマッシュョンタイムだけを考えれば、チャネル容量にはほぼ等しい値を示している。ウェイトタイムまでを含めたスループットは、チャネル容量の約94%に達している。

送信側RBPで測定したアイドルタイムは、ほぼ4.6msecから6.7msecに分布しており、ウェイトタイムは、ほぼ4msecから20msecに分布している。受信

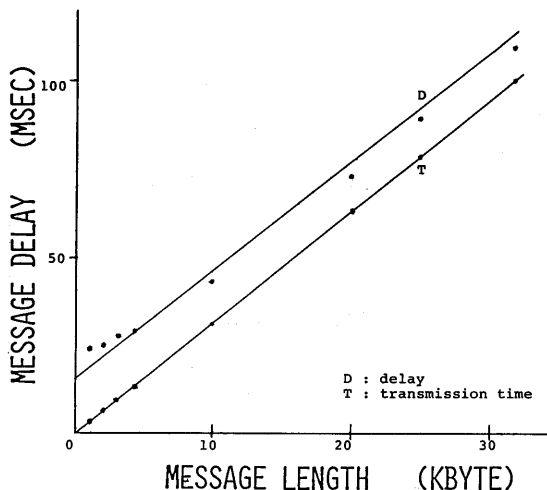


FIG.8 MESSAGE DELAY VERSUS MESSAGE LENGTH  
(sender)

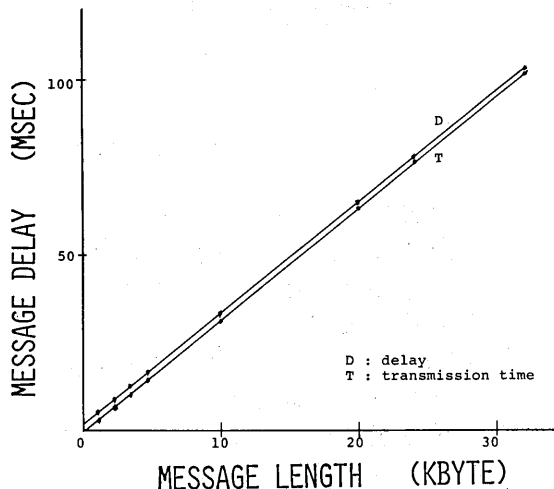


FIG.9 MESSAGE DELAY VERSUS MESSAGE LENGTH  
(receiver)

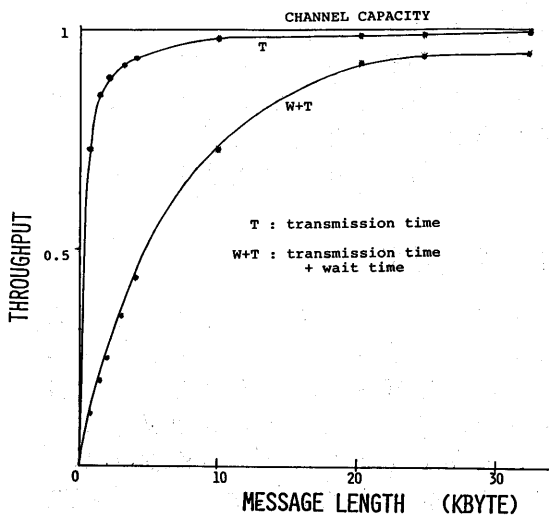


FIG.10 THROUGHPUT VERSUS MESSAGE LENGTH  
(sender)

側 RBP で測定したアイドルタイムはほぼ  $10\text{msec}$  から  $20\text{msec}$  に分布しており、ウェイトタイムは  $0.9\text{msec}$  から  $1.1\text{msec}$  である。

## 5. 結論

前章に測定結果を述べた。本測定は RBP の動作を測定している。GAMMA-NET のデータリンクの動作は RBP によって制御され、CPU はチャネル I/O と同様に RBP を起動している。従来のネットワークのように、通信用フロントエンドプロセッサのリフトウエアで通信処理を行 $\varphi$ うのでなく、GAMMA-NET では、通信処理をハードウエア／ファームウエアで実行し伝送効率を計っている。

図 9 より、ランデブー方式による送受信の同期完了後から受信側 RBP がデータの受信を始めるまでの時間間隔(受信側のウェイトタイム)は、 $0.9\text{msec}$  から  $1.1\text{msec}$  の範囲で分布している。すなわち、前章の図 3 で示したとおり、この時間内に受信側 RBP が RIO および RTS を送信し、送信側 RBP からの WT を受信できることが示されている。

図 10 より、送受信の同期完了後データ転送のスループットは 1 チャネル分の容量にほぼ等しいことが測定された。この理由は、WT を 1 チャネルに送出した後はそのチャネルを確保しデータ転送を実行するため、RBS は TDMA のような動作をするからである。

以上のことから、RBP は所期の設計目標どおりに作動していると結論できよう。

データリンク制御にランデブー方式を採用しているために、データ転送は送受信の同期が完了するまで待ち状態になりウェイトタイムが長くなる原因となっている。この理由は、送信および受信側 CPU で RBP に送信および

受信の起動を行うリフトウエアオーバヘッドが大きいからである。本測定では、アイドルタイムとしてこの時間が測定されている。また、各 CPU に対する負荷の影響も大きく、測定時の負荷によってアイドルタイムの平均および分散が大きく変動している。CPU のサイクルタイムにも関係があり、送信側 CPU は 3MIPS、受信側 CPU は 0.6MIPS であるため、送信側のアイドルタイムは受信側のそれよりも短かい。

しかし、ランデブー方式は受信 RBP でパップファ・プロックキングによる受信のビギーになる場合を少なくしている。すなわち、ランデブー方式によって送受信プロセスが同期するからである。従来のデータリンク制御プロトコルのように、送受信プロセスの同期なしに送信側 RBP がデータ転送を始め、受信側 CPU では受信状態にないとき、受信側 RBP のパップファがあふれることがある。これを極力避けるためにランデブー方式を採用した。そして、受信ビギーによる再送が少ないので、チャネルを有效地に利用できる。パップファ・プロックキングの解析は今後の検討課題である。

なお、測定ではパーストモードが使用されている。パーストモードはファイル転送などの大量データを高スループットで転送するために使用される。

現在、GAMMA-NETにおいてファイル転送プロトコルは構築段階にある。例えば、図 8 より 32K パイトのデータは、約  $110\text{msec}$  の遅延で転送できることが示されている。また、GAMMA-NET では、5 個のチャネルを束ねてデータ転送を行う機能(マルチチャネル・アクセス)もあり、本測定の 5 倍のスループットが期待できる。ファイル転送の評価はここで深く言及できないが、十分なレスポンスを期待できると思われる。

## 6. あとがき

本論では、最初に RBS の通信機能と測定機能について述べ、次にこの測定機能を用いて測定した結果より、GAMMA-NET の通信特性について論じた。測定結果を用いた通信特性の種々の解析が今後の検討課題となる。

また、これまでのデータリンクの性能評価だけではなく、システム全体を考慮した総合的な性能評価も今後検討すべき課題である。

更に、データ転送において通信リフトウェアオーバーヘッドによる影響が大きいという測定結果が示されたことより、通信効率のよいネットワーク向きOSの開発が将来必要であろうと思われる。

## 7. 謝辞

この研究に関して暖かい支援を頂いた筑波大学学術情報処理センター長・中山和彦教授に感謝する。

## 8. 参考文献

- (1) K. IKEDA, et al, "Computer Network Coupled by 100Mbps Optical Fiber Ring Bus System Planning and Ring Bus Subsystem Description -" COMPCON 80, 1980
- (2) F.E. Heart, P. E. Kahn, S. M. Ornstein, W.R. Crowther and D.C. Walden, "The interface message processor for ARPA computer network, AFIPS Conf. Proc., Vol. 36, pp. 551 ~ 567 1970
- (3) E.J. Weldon, J., "An Improved Selective-Repeat ARQ Strategy" IEEE Trans. Commun., Vol. COM-30, No.3, March 1982